

Cache-oblivious algoritmy a dátové štruktúry

Intro text - obsah kapitoly (alg/ds, analiza, ...)

1.1 Základné algoritmy

Na demonštráciu *cache-oblivious* algoritmov a ich analýzy v *external-memory* modeli použijeme jednoduchý algoritmus, ktorý počíta agregáčnú funkciu nad hodnotami uloženými v poli.

1.1.1 Popis algoritmu

Majme pole A veľkosti $|A| = N$ a označme jeho prvky $A = \{a_1, \dots, a_N\} \in X^N$. Chceme vypočítať hodnotu $f_g(A)$, kde $g : X \times Y \rightarrow Y$ je agregáčná funkcia, $g_0 \in Y$ je počiatočná hodnota a $f_g : X^\infty \rightarrow Y$ je rozšírenie agregáčnej funkcie definované nasledovne:

$$\begin{aligned} f_g(\{a_1, \dots, a_k\}) &= g(a_k, f(\{a_1, \dots, a_{k-1}\})) \\ f_g(\emptyset) &= g_0 \end{aligned}$$

Túto funkciu je možné implementovať jednoducho ako jeden cyklus. Schematickú verziu implementácie uvádzame v algoritme 1.1.

Algoritmus 1.1 Implementácia agregáčnej funkcie f_g

```

1: function AGGREGATE( $g, g_0, A$ )
2:    $y \leftarrow g_0$ 
3:   for  $i \leftarrow 1, \dots, |A|$  do
4:      $y \leftarrow g(A[i], y)$ 
5:   return  $y$ 

```

Správna
nota-
cia
pre x
infini-
ty?

Tento algoritmus s použitím vhodnej funkcie g a hodnoty g_0 je možné použiť na rôzne, často užitočné výpočty, ako napríklad maximum, minimum, suma a podobne:

$$\begin{aligned} g^{\max}(x, y) &= \max(x, y) & g_0^{\max} &= -\infty \\ g^{\text{sum}}(x, y) &= x + y & g_0^{\text{sum}} &= 0 \end{aligned}$$

1.1.2 Analýza zložitosti

Časová analýza

Klasická časová analýza tohto algoritmu je triviálna ak uvažujeme *RAM model*. Keďže prístup ku každému prvku $A[i]$ zaberie konštantný čas a za predpokladu, že čas na výpočet funkcie g , T_g , je nezávislý na vstupe, bude výsledný čas na výpočet tejto funkcie

$$T(N) = \mathcal{O}(1) + N[\mathcal{O}(1) + T_g + \mathcal{O}(1)] = T_g \cdot \mathcal{O}(N)$$

Pamäťová analýza

V prípade *cache-aware* algoritmu by sme pole A mali uložené v $\lceil \frac{N}{B} \rceil$ blokoch veľkosti B . Pri výpočte by sme postupne tieto bloky načítali do cache a pracovali s nimi. V rámci jedného bloku počas výpočtu nedochádza k pamäťovým presunom. Zároveň stačí každý prvok spracovať raz a teda celkový počet pamäťových operácií bude presne rovný počtu blokov, $\lceil \frac{N}{B} \rceil$. Tento algoritmus však požaduje znalosť parametra B a explicitný presun blokov.

Jednoducho však vieme dosiahnuť (takmer) rovnakú zložitosť aj v prípade *cache-oblivious* algoritmu 1.1, ktorý žiadne parametre pamäte zjavne nevyužíva a nepozná. Budeme predpokladať, že pole A je uložené v súvislom úseku pamäte - to je možné dosiahnuť aj bez znalosti parametrov pamäte. Zvyšok algoritmu prebieha rovnako ako v predchádzajúcom prípade. Každý blok obsahujúci nejaký prvok poľa A bude teda presunutý do cache práve raz, a žiadne iné presuny nenastanú. Ostáva zistiť, koľko takých blokov môže byť.

Keďže nepoznáme veľkosti blokov v pamäti, nevieme pri ukladaní prvkov poľa zaručiť zarovnanie so začiatkom bloku. V najhoršom prípade uložíme do prvého bloku iba jeden prvok. Potom bude nasledovať $\lfloor \frac{N}{B} \rfloor$ plných blokov a nakoniec ešte najviac jeden blok, ktorý opäť nie je plný. Spolu máme teda $\lfloor \frac{N}{B} \rfloor + 2$ blokov.

Pokiaľ $\lfloor \frac{N}{B} \rfloor < \lceil \frac{N}{B} \rceil$ máme spolu najviac $\lceil \frac{N}{B} \rceil + 1$ blokov. V opačnom prípade B delí N , teda v prvom a poslednom bloku je spolu presne B prvkov a medzi nimi sa nachádza najviac $\frac{N-B}{B} = \frac{N}{B} - 1$ plných. Teda blokov je vždy najviac $\lceil \frac{N}{B} \rceil + 1$.

Zostrojili sme teda *cache-oblivious* algoritmus s asymptoticky rovnakou zložitosťou $\mathcal{O}(\frac{N}{B})$ ako optimálny *cache-aware* algoritmus, ktorého implementácia je však jednoduchšia, keďže nemusí explicitne spravovať presun blokov do cache.

1.2 Vyhľadávacie stromy

intro ...

lowerbound

1.2.1 *Cache-aware* riešenie

V prípade, že poznáme veľkosť blokov B v cache, môžeme problém vyhľadávacích stromov riešiť B-stromom s vetvením $\Theta(B)$. Každý vrchol teda vieme načítať s použitím $\mathcal{O}(1)$ pamäťových presunov. Výška takého B-stromu, ktorý má N listov, bude $\mathcal{O}(\log_B N)$. Celkovo teda vyhľadávanie v tomto strome vykoná $\mathcal{O}(\log_B N)$ pamäťových presunov. To zodpovedá dolnej hranici vo vete .

dokaz

1.2.2 Naivné *cache-oblivious* riešenie

Predtým ako popíšeme efektívne *cache-oblivious* riešenie, pozrime sa na klasický binárny vyhľadávací strom. Jednoduchý a častý spôsob ako usporiadať uzly binárneho stromu v pamäti je nasledovný. Koreň uložíme na pozíciu 1. Ľavého a pravého potomka vrchola na pozícií x uložíme na pozície $2x$ a $2x + 1$. Otec vrcholu x bude na pozícií $\lfloor \frac{x}{2} \rfloor$. Príklad takto uloženého stromu je na obrázku 1.2(a).

Výhodou tohto usporiadania sú implicitné vzťahy medzi vrcholmi. Na udržiavanie stromu stačí jednorozmerné pole kľúčov. Na prechod medzi nimi môžeme použiť triviálne funkcie uvedené v .

algoritmy

Nevýhodou je však vysoký počet pamäťových presunov pri vyhľadávaní. Výška tohto stromu je $\mathcal{O}(\log N)$. Pri načítaní vrcholu na pozícií x sa v rovnakom bloku nachádzajú vrcholy na pozíciách

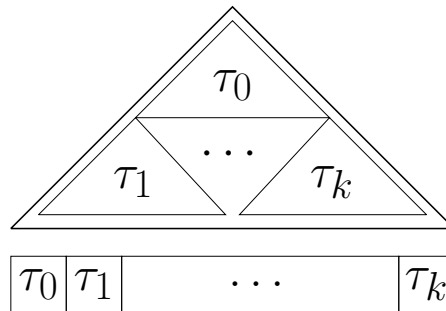
$$x - k, \dots, x - 1, x, x + 1, \dots, x + l$$

kde $k + l < B$. Pri ďalšom kroku vyhľadávania budeme potrebovať vrchol $2x$ alebo $2x + 1$ a teda nás pozície menšie ako x nezaujímajú. V najlepšom prípade teda bude $k = 0$ a $l = B - 1$. Aby sa v tomto intervale nachádzali požadované vrcholy musí platiť

$$\begin{aligned} 2x + 1 &\leq x + l = x + B - 1 \\ x &\leq B - 2 \end{aligned}$$

To znamená, že pre pozície $x > B - 2$ už bude potrebný pamäťový presun pre každý vrchol. Vrchol s pozíciou $B - 2$ bude mať hĺbku $\mathcal{O}(\log B)$ a teda počet vrcholov na ceste z koreňa do listu, ktorých pozície v pamäti sú väčšie ako $B - 2$ bude $\Omega(\log N - \log B)$. Pre každý z nich je potrebné vykonať pamäťový presun a teda vyhľadávanie v takto usporiadanom binárnom strome vykoná $\Omega(\log \frac{N}{B})$ pamäťových presunov, čo je horšie ako pri *cache-aware* B-strome.

porovnať
fnc?



Obrázok 1.1: Schematické znázornenie rekurzívneho delenia pri van Emde Boas usporiadaní. Podstromy τ_0, \dots, τ_k sa uložia do súvislého pola.

1.2.3 Statický *cache-oblivious* vyhľadávací strom

Problémom predošlého riešenia je neefektívne usporiadanie v pamäti - pri prístupe ku vrcholu sa spolu s ním v rovnakom bloku nachádzajú vrcholy, ktoré nie sú pre ďalší priebeh algoritmu podstatné.

Riešením je takzvané *van Emde Boas usporiadanie* (*van Emde Boas layout*, nazvané podľa van Emde Boas stromov s podobnou myšlienkou), ktoré funguje následovne. Uvažujme úplný binárny strom výšky h . Ak $h = 1$ tak máme iba jeden vrchol v a výstupom usporiadania bude (v) .

Pre $h > 1$ rozdelíme vstupný strom na podstrom τ_0 výšky $\frac{h}{2}$, ktorého koreňom je koreň pôvodného stromu. Zostanú nám podstromy τ_1, \dots, τ_k , ktorých korene sú potomkovia listov τ_0 a listy sú listy vstupného stromu. Rekurzívne ich uložíme do van Emde Boas usporiadania a následne uložíme za seba, výstupom teda bude $(\tau_0, \tau_1, \dots, \tau_k)$. Schéma tohto delenia je na obrázku 1.1 a príklad takto usporiadaného stromu na obrázku 1.2(b).

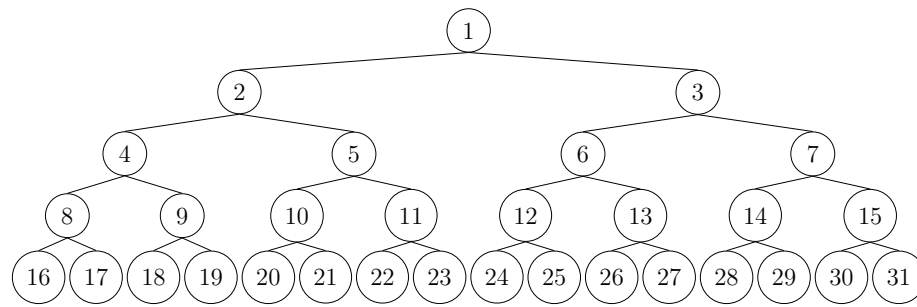
Tieto podstromy majú veľkosť $\Theta(\sqrt{N})$ kde N je veľkosť vstupného stromu, keďže ich výška je $\frac{h}{2} = \frac{1}{2} \lg N = \lg \sqrt{N}$.

Vyhľadávanie

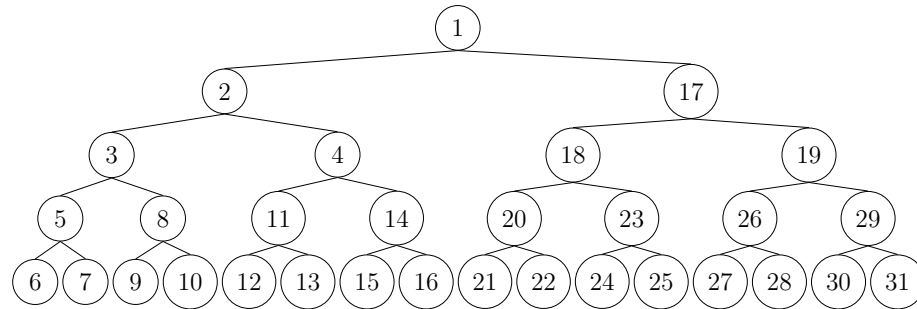
pointers vs implicit indexing

Pri analýze vyhľadávania sa pozrime na také podstromy predošlého delenia, že ich veľkosť je $\Theta(B)$. Ďalšie delenie a preusporiadanie je už zbytočné, no to *cache-oblivious* algoritmus nemá ako vedieť. Keďže ale po rekurzívnom volaní získame len iné usporiadanie, ktoré uložíme v súvislom úseku pamäte, bude stále možné tento podstrom načítať v $\mathcal{O}(1)$ blokoch.

Majme teda vyhľadávací strom zložený z takýchto podstromov, ktorých veľkosť je medzi $\Omega(\sqrt{B})$ a $\mathcal{O}(B)$. Ich výška je teda $\Omega(\log B)$. Pri strome výšky $\mathcal{O}(\log N)$ teda prejdeme cez $\mathcal{O}(\frac{\log N}{\log B})$ takých podstromov a každý vyžaduje konštantný počet pamäťových presunov a spolu sa ich teda vykoná $\mathcal{O}(\log_B N)$, čo zodpovedá spodnej



(a) Klasické usporiadanie



(b) van Emde Boas usporiadanie

Obrázok 1.2: Porovnanie klasického a van Emde Boas usporiadania na úplnom binárnom strome výšky 5. Čísla vo vrcholoch určujú poradie v pamäti.

hranici tohto problému.

Máme teda vyhľadávanie, ktoré je rovnako ako pri *cache-aware* B-stromoch optimálne. Problémom tejto dátovej štruktúry je však nemožnosť efektívne vkladať či odoberať prvky - pri každej zmene by bolo potrebné strom preusporiadať. Máme teda *cache-oblivious* ekvivalent statických *cache-aware* B-stromov.

Na úpravu tohto statického stromu tak, aby efektívne zvládal operácie pridávania a odoberania, budeme potrebovať pomocnú dátovú štruktúru, ktorú popíšeme v nasledovnej sekcii.

1.3 Usporiadané pole